

## تحلیل همدیدی شرایط رخداد سامانه‌های همرفتی با بارش بیش از ۱۰ میلی‌متر در جنوب غرب ایران

سمیه رفعتی<sup>\*</sup> – استادیار اقلیم شناسی، دانشگاه سیدجمال الدین اسدآبادی  
زهراء حجازی‌زاده<sup>\*</sup> – استاد اقلیم شناسی، دانشگاه خوارزمی  
مصطفی کریمی<sup>\*</sup> – استادیار اقلیم شناسی، دانشگاه تهران

تأثیرگذاری: ۱۳۹۲/۱۰/۰۸ پذیرش مقاله: ۱۳۹۳/۰۴/۰۸

### چکیده

در این مطالعه به بررسی الگوهای فشار مسبب رخداد سامانه‌های همرفتی با بارش سنگین (بر اساس WMO با مجموع بارش بیش از ۱۰ میلی‌متر) در جنوب غرب ایران، طی دوره آماری (۲۰۰۱-۲۰۰۵) پرداخته شده است. بدین منظور داده‌های بازکاوی شده NCEP با قدرت تفکیک شبکه‌های افقی ۲/۵ درجه طول و عرض جغرافیایی به کار گرفته شده است. برای استخراج الگوها از روش‌های همبستگی و بردار ویژه بهره‌جویی شد. نتایج حاصل از روش همبستگی به دلیل دقت بیشتر، در تحلیل‌های بعدی مورد استفاده قرار گرفت و درصد شکل‌گیری سامانه‌ها در هر الگوی ترکیبی از سطح زمین تا سطح ۵۰۰ به دست آمد. فشار سطح دریا در هفت الگو، ارتفاع ژئوپتانسیل سطح ۸۵۰ هکتوپاسکال در هشت الگو و ارتفاع ژئوپتانسیل سطح ۵۰۰ هکتوپاسکال در پنج الگو طبقه‌بندی شدند. با بررسی شرایط همدیدی و الگوهای رخداد سامانه‌های همرفتی، معلوم شد که رخداد سامانه‌های همرفتی در جنوب غرب ایران تا اندازه زیادی وابسته به گسترش و نفوذ زبانه کم‌فشار سودانی بوده است. بخش گستردگی از سامانه‌هایی که جنوب غرب ایران را تحت تأثیر قرار دادند، در امتداد منطقه همگرایی دریای سرخ (جنوب شرق عراق، کویت و شمال شرق شبه‌جزیره عربستان) شکل گرفتند.

**کلیدواژه‌ها:** الگوهای فشار، بردار ویژه، جنوب غرب ایران، سامانه‌های همرفتی، همبستگی.

### مقدمه

سامانه‌های همرفتی<sup>۱</sup> با وجود اندازه نسبتاً کوچک‌شان، می‌توانند خطرناک باشند و اغلب با شرایط آب و هوایی سخت (سیل، طوفان و تگرگ) همراه هستند (مول و سنسی، ۲۰۰۲). از سوی دیگر، این سامانه‌ها در نواحی جنوب حاره‌ای بخش

عمده‌ای از بارش کل را تشکیل می‌دهند (کاتن و انتر، ۱۹۸۹) و در فراهم کردن آب برای اهداف مختلف نیز اهمیت بسزایی دارند. بنابراین شناسایی و بررسی دقیق سامانه‌های همرفتی برای درک شرایط اقلیمی و کاهش آسیب‌پذیری ناشی از رخدادهای شدید آب و هوایی ضروری است.

نتایج مطالعات گذشته نشان داده است که برای رخداد همرفت عمیق، ناپایداری وردسپهر برای صعود توده هوا مرطوب لازم است، اما مهیا بودن شرایط ترمودینامیک کافی نیست، بلکه عوامل دینامیک نیز نقش بسیار مهمی در کنترل رخداد آن دارند (بامیک، روی و کوندو، ۲۰۰۸). توسعه این سامانه‌ها به ناپایداری پتانسیل، مقادیر بالای رطوبت نسبی در تمام تروپوسفر، همگرایی سطح پایین و سازوکار صعود نیاز دارد (داسلو، بروکس و مدکس، ۱۹۹۶؛ لست، رمیس و لانزا، ۱۹۹۹). عوامل میان‌مقیاس در تکامل سامانه‌های همرفتی وسیع خیلی مهم هستند، حضور یک چرخند در سطوح پایین به تولید ساختار کمابیش پایدار و افزایش احتمال رخداد بارش‌های سنگین کمک می‌کند (ریگو و لست، ۲۰۰۷).

واکنش دینامیکی بین مؤلفه عمودی باد و هوای سرد تولید شده از طریق تبخیر، سازوکار مهمی در کنترل قدرت و طول عمر سامانه‌های همرفتی و بهویژه خط تندر<sup>۱</sup> دارد (ویسمن و رتونو، ۲۰۰۴). ساختار و شدت سامانه‌های همرفتی به شرایط محیطی، مانند باد افقی، دما و رطوبت وابسته است، این شرایط محیطی انعکاس پدیده‌های هواشناسی با مقیاس همیدید هستند (تاكمی، ۲۰۱۰). تعیین رابطه بین سازمان‌یافته‌گی کیفی سامانه‌های همرفتی و شرایط هواشناسی در مقیاس‌های متوسط و همیدید، توصیف شرایط هواشناسی مطلوب برای تشکیل این سامانه‌ها را بهبود خواهد داد (سنچز، فرناندز، تودری و لمیس، ۲۰۰۳). اغلب بهدلیل کمبود داده‌های مناسب برای مطالعه میان‌مقیاس سامانه‌های همرفتی، تنها تحلیل همیدید در این رابطه انجام می‌شود (لست، ریگو و بریندوس، ۲۰۰۳).

در ایران در رابطه با تحلیل همیدید سامانه‌های منجر به رخداد بارش سنگین که عمدتاً از نوع سامانه‌های همرفتی هستند، مطالعاتی انجام شده است. تعدادی از این مطالعات مربوط به حوادث موردي (عزیزی و صمدی، ۱۳۸۶؛ موسوی و اشرف، ۱۳۸۹) و تعدادی دیگر مربوط به حوادث رخ داده در طول دوره آماری (حجازی‌زاده، جعفرپور و پروین، ۱۳۸۶؛ لشکری و اصغرپور، ۱۳۸۷؛ مفیدی و زرین، ۲۰۰۶) بوده‌اند. حجازی‌زاده و همکاران (۱۳۸۶) نشان دادند که هنگام وقوع سیلاب در سطح حوضه آبریز دریاچه ارومیه، محور تراف به سمت عرض‌های جغرافیایی پایین عمیق‌تر شده و موقعیت حوضه آبریز دریاچه ارومیه نسبت به اختشاشات سطح بالا به‌گونه‌ای بوده که یا در جلو تراف موج کوتاه بادهای غربی قرار گرفته، یا در شرق سردهچال بالایی واقع شده، یا اینکه در جلوی بادهای غربی مسیر جنوبی سیستم مانع قرار گرفته است. مفیدی و زرین (۲۰۰۶) نشان دادند که استقرار مناسب خروجی هسته جت جنب حاره روی خاورمیانه، به‌همراه استقرار و تقویت پشت‌های در تراز میانی و زبانه پرساری در تراز پایین روی دریای عرب، برای تکوین و گسترش کم‌فشارهای سودانی مهم است. موقعیت و سرعت هسته جت جنب حاره روی خاورمیانه و امتداد محور آن در ترازهای فوقانی وردسپهر، ضمن کنترل الگوی گردش تراز میانی، مسیرهای ورود کم‌فشارهای سودانی به ایران را کنترل می‌کند.

1. Squall line

بر اساس نتایج آنها منبع اصلی رطوبت سامانه‌های سودانی، مناطق حاره‌ای شرق آفریقا و قطاع جنوب غربی دریای عرب است و حداکثر رطوبت ورودی به ایران نیز در منطقه جنوب غرب کشور، بهخصوص در استان‌های کهگیلویه و بویراحمد و چهارمحال و بختیاری بوده است. اما کریمی (۱۳۸۶) منبع اصلی تأمین رطوبت این سامانه‌ها را دریای عرب و با فاصله محسوسی از دریای سرخ ذکر کرده است.

هدف این مطالعه، تعیین شرایط همدیدی مسبب رخداد سامانه‌های همرفتی با بارش بیش از ۱۰ میلی‌متر است که نقش مهمی در ریزش‌های جوی جنوب غرب ایران دارد.

## مواد و روش‌ها

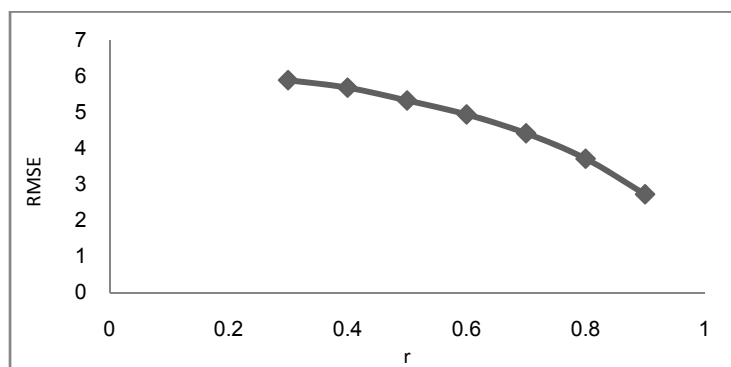
ابتدا بر اساس آمار بارش (شش ساعته) و پدیده (سه ساعته) ایستگاه‌های سینوپتیک واقع در سه استان جنوب غرب ایران، شامل خوزستان، کهگیلویه و بویر احمد و چهارمحال و بختیاری، طی سال‌های ۲۰۰۱ تا ۲۰۰۵ زمان رخداد سامانه‌های همرفتی تعیین شد و سپس از این میان، فقط سامانه‌هایی انتخاب شدند که در زمان رخداد آنها دست کم در یک ایستگاه بارش بیش از ۱۰ میلی‌متر (در طول شش ساعت) داشته و در سه ایستگاه هواشناسی، فعالیت همرفتی (رگبار، طوفان‌های رعد و تگرگ) ثبت شده باشد. علت انتخاب چنین معیارهایی شناسایی شرایط رخداد سامانه‌های همرفتی وسیع‌تر با بارش سنگین (تانک، زویرس و زانک، ۲۰۰۹) بوده است. سپس الگوی فشار در روزهای رخداد این سامانه‌ها با استفاده از دو روش بردار ویژه (PCA) و همبستگی طبقه‌بندی شدند. برای طبقه‌بندی الگوی فشار از داده‌های شبکه‌ای استفاده شد. الگوهای فشار سطح پایین جو (بدون تأثیر ناهمواری‌های سطح زمین)، به کمک داده‌های فشار سطح زمین و همچنین ارتفاع ژئوپتانسیل سطح ۸۵۰ هکتوپاسکال بررسی شده است. چون جریان در سطح میانی جو عامل اصلی شکل‌گیری و هدایت مراکز فشار سطح پایین‌تر جو و سامانه‌های بارش‌زا هستند، تعیین محل ناوه و پشته در این مطالعه مهم بود و به این منظور از داده‌های ارتفاع ژئوپتانسیل سطح ۵۰۰ هکتوپاسکال استفاده شد. مؤلفه‌های مداری و نصف‌النهاری باد نیز، برای ترسیم خطوط جریان (به منظور تفسیر دقیق‌تر الگوهای فشار) به کار گرفته شدند.

برای طبقه‌بندی نقشه‌های فشار به روش همبستگی، ضریب همبستگی محاسبه شد که این ضریب معرف درجه همانندی بین هر زوج نقشه است (رابطه ۱). پس از محاسبه ضریب همبستگی و تشکیل ماتریس همبستگی، روزهای کلیدی مشخص شدند. در گام بعد، از آنجاکه ممکن است هر نقشه با بیش از یک نقشه همبستگی معنادار داشته باشد و در جریان انتخاب روزهای کلیدی، برخی نقشه‌ها در طبقه درست جای نگرفته باشند، باز دیگر همه نقشه‌ها طبقه‌بندی شدند. در جریان طبقه‌بندی مجدد، هر نقشه در طبقه‌ای جای گرفت که بالاترین ضریب همبستگی را با میانگین نقشه‌های مربوط به یک الگو داشته است (یارنال، ۱۳۸۵). درنهایت میانگین فشار یا ارتفاع ژئوپتانسیل هر طبقه، نماینده الگوها در نظر گرفته شده است.

$$r_{xy} = \frac{\sum_i^N (x_i - \bar{x})(y_i - \bar{y})}{\sum_i^N (x_i - \bar{x})^2 \sum_i^N (y_i - \bar{y})^2} \quad \text{رابطه ۱}$$

برای تعیین آستانه همبستگی، ابتدا همبستگی یک روز (A) با روزهای دیگر محاسبه شد، روزهایی که همبستگی‌های مختلفی از ۰/۳ تا ۰/۹ با آن روز داشتند انتخاب شدند و با استفاده از رابطه‌های خطی به دست آمده، مقدار فشار روز A بر اساس فشار روزهای B تا H (که همبستگی‌های مختلفی از ۰/۳ تا ۰/۹ با روز A داشتند) پیش‌بینی شد و میزان خطای RMSE (رابطه ۲) برای هر مقدار ضریب همبستگی به دست آمد. همان‌طور که در شکل ۱ نشان داده شده است، میزان تفاوت خطای رابطه در ضرایب همبستگی پایین‌اندک است، ولی با افزایش ضریب همبستگی میران تفاوت در خطاهای نیز زیاد می‌شود. بنابراین بر اساس یک بررسی چشمی و برقراری موازنی بین میزان شباهت الگوها و تعداد نقشه‌های طبقه‌بندی شده و الگوها، ضریب همبستگی ۷/۰ بهترین ضریب همبستگی برای طبقه‌بندی الگوهای فشار انتخاب شده است.

$$RMSE = \left[ N^{-1} \sum_{i=1}^N (P_i - O_i)^2 \right]^{0.5} \quad \text{رابطه ۲}$$



شکل ۱. خطای RMSE در رابطه با میزان ضرایب همبستگی

در روش مؤلفه‌مبنا، ماتریس داده‌ها در حالت S تنظیم و برای محاسبه مؤلفه مبنا از ماتریس همبستگی و دوران متغیر استفاده شده است (یارنال، ۱۳۸۵: ۱۱۰). سپس روزهایی با بارش هم‌رفتی بر اساس نمره‌های عاملی به دست آمده با استفاده از تحلیل خوشه‌ای سلسله‌مراتبی ترکیبی (روش وارد) طبقه‌بندی شدند. تعیین تعداد خوشه‌ها بر اساس ضرایب ارائه شده در جدول ترکیبی و ترکیب خوشه‌ها در مرحله افزایش میزان ناهمگونی (ضریب) متوقف شد.

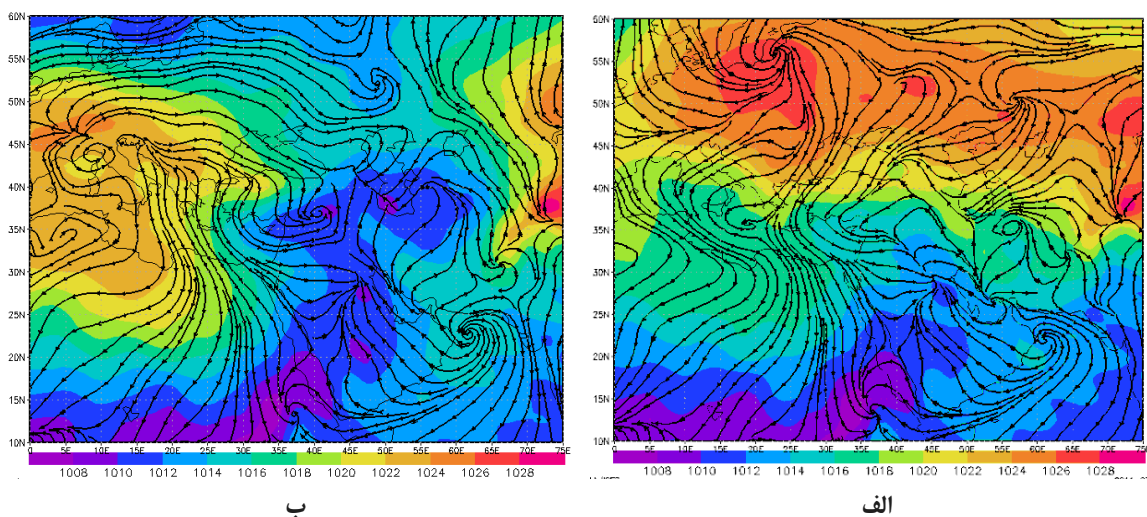
برای قضاوت در مورد عملکرد این دو روش، ابتدا ضریب همبستگی بین فشار یا ارتفاع ژئوپتانسیل روزهای طبقه‌بندی شده در الگوهای حاصل از روش بردار ویژه محاسبه و سپس روزهایی که ضریب همبستگی آنها کمتر از آستانه انتخاب شده در روش همبستگی بود و همچنین روزهایی که در دو روش به صورت متفاوتی طبقه‌بندی شدند، به صورت چشمی بررسی شدند. مقایسه نتایج نشان داد که روش همبستگی نتایج بهتری ارائه می‌دهد و خروجی‌های این روش در تحلیل نهایی مورد استفاده قرار گرفت. در نهایت داده‌های میانگین روزهای طبقه‌بندی شده در یک الگو با فرمت NetCdf دریافت و با استفاده از نرم‌افزار گرادس برای هر الگو، نقشه میانگین تهیه شد.

## یافته‌های پژوهش الگوهای سطح زمین

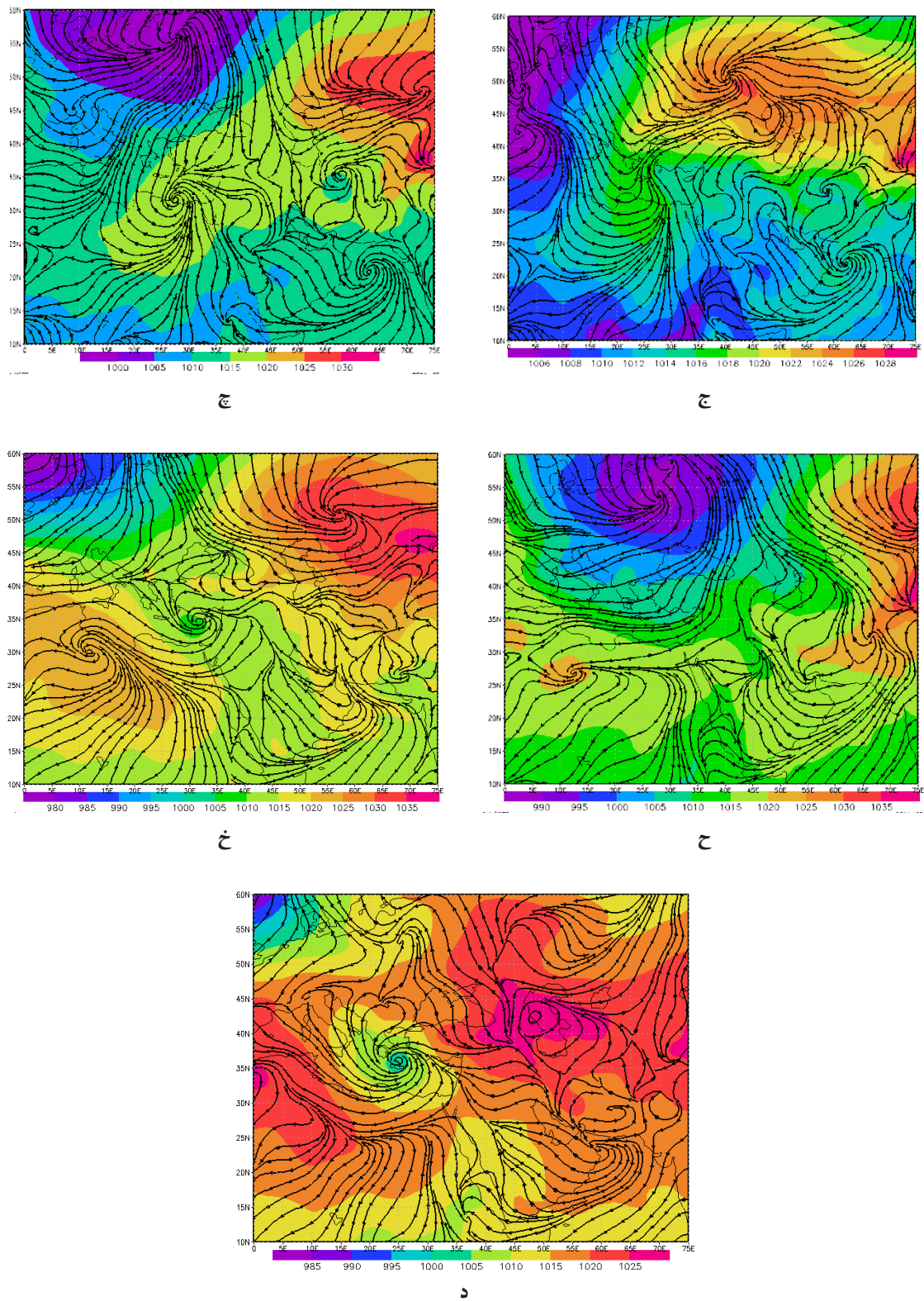
از طبقه‌بندی هشتادوسه نقشهٔ فشار سطح دریا، هفت الگو به‌دست آمد و شش نقشه نیز در هیج الگویی قرار نگرفتند. در زیر به بررسی این هفت الگو پرداخته شده است.

### الگوی اول سطح زمین

الگوی اول سطح زمین (شکل ۲-الف) حاکی از وجود الگوی فشاری شبهمداری است که در عرض‌های بالای ۳۵ درجهٔ شمالی و شرایط پرفشاری، از شرق تا غرب امتداد دارد، ولی شرایط کم‌فشاری در پایین‌تر از مدار ۲۵ درجهٔ شمالی، همانند پرفسار، نظم مداری نداشته و هسته اصلی آن روی نواحی جنب استوایی آفریقا (روی سودان) قرار دارد که تا دریای سرخ امتداد یافته است. این امتدادیافتگی به شکل زبانه‌ای از کم‌فشار از سمت مرکز و شمال شبه‌جزیرهٔ عربستان تا نواحی مرکزی عراق دیده می‌شود و مناطقی از جنوب غرب و سواحل شمالی خلیج فارس در ایران را تحت تأثیر قرار داده است. پرفسار شمال با انتقال هوای سرد عرض‌های بالا و واچرخند عربستان با استقرار روی دریای عرب و ساحل شرقی شبه‌جزیرهٔ عربستان با انتقال هوای گرم و مرطوب به کم‌فشار سودان، باعث افزایش گرادیان فشاری، تقویت کم‌فشار سودان و حرکت شمال سوی آن شده است. همان‌طور که ملاحظه می‌شود، در جنوب غرب ایران باد جنوب شرقی - جنوبی حاکم است. یک منطقهٔ واگرایی در سواحل شمالی خلیج فارس و یک منطقهٔ همگرایی (ناشی از نفوذ زبانهٔ کم‌فشار سودان) در شمال غربی خلیج فارس به وجود آمده است. این واگرایی به همراه واچرخند عربستان، در تزریق هوای گرم و مرطوب (واگرایی جنوب ایران از خلیج فارس و واچرخند عربستان از دریای عرب) به منطقهٔ همگرایی ذکر شده نقش دارد.



شکل ۲. میانگین فشار سطح دریا (هکتوپاسکال) و خطوط جریان؛ الف: الگوی اول؛ ب: الگوی دوم



ادامه شکل ۲. میانگین فشار سطح دریا (هکتوپاسکال) و خطوط جریان ج: الگوی سوم، ج: الگوی چهارم، ح: الگوی پنجم، خ: الگوی ششم و د: الگوی هفتم

## الگوی دوم سطح زمین

اروپا و شمال آفریقا تحت نفوذ پرفشار با مرکزی واحد در شمال دریای مدیترانه هستند (پرفشار آزور و شمال آفریقا به یکدیگر متصل شده‌اند). واچرخند عربستان نیز روی دریای عرب در شرق شبه‌جزیره عربستان مستقر است. همانند الگوی اول، هسته اصلی کم‌فشار جنوب استوایی آفریقا روی سودان قرار دارد که تا دریای سرخ امتداد یافته است. این امتدادیافتگی به‌شکل زبانه‌ای از کم‌فشار از سمت مرکز و شمال شبه‌جزیره عربستان تا نواحی مرکزی عراق دیده می‌شود. همچنین کم‌فشار بسته‌ای از این زبانه جدا شده و روی نیمه شمالی ایران قرار گرفته و تا دریاچه آرال نیز گسترش یافته است (شکل ۲-ب). در این الگو، تزریق هوای گرم و مطریب توسط واچرخند عربستان و ریزش هوای سرد عرض‌های بالا توسط پرفشار مستقر در اروپا و شمال آفریقا، باعث تقویت کم‌فشار سودان و حرکت شمال سوی آن شده است. برخلاف الگوی اول، به‌دلیل عدم حضور پرفشار در شمال ایران، این زبانه کم‌فشار توانسته حرکت بیشتری به‌سمت شمال داشته باشد؛ به‌طوری که کمابیش تمام نقاط ایران را تحت تأثیر قرار داده است. تفاوت دیگر این الگو با الگوی قبل در این است که در این الگو پرفشار آزور گسترشی شمالی - جنوبی داشته (در الگوی قبل نقش چندانی نداشته است) و با پرفشار روی شمال آفریقا پیوند خورده است، این سبب می‌شود که هوای سرد عرض‌های بالا به عرض‌های پایین‌تری نفوذ کرده و کم‌فشار سودان تقویت شود. همانند الگوی قبل، در جنوب غرب ایران باد جنوب شرقی - جنوبی حاکم است، یک منطقه واگرایی در جنوب ایران و یک منطقه همگرایی (ناشی از نفوذ زبانه کم‌فشار سودان) با محور شمال شرقی - جنوب غربی در مرکز عربستان به وجود آمده است، اما این واگرایی برخلاف الگوی قبل در تزریق هوای گرم و مطریب به منطقه همگرایی نقش چندانی ندارد. تفاوت شکل جریان در این الگو و الگوی قبل در این است که یک چرخند روی مرز سوریه، ترکیه و عراق شکل گرفته است که در الگوی قبل وجود نداشت. این چرخند روی زبانه کم‌فشار سودان در این منطقه تشکیل شده است.

## الگوی سوم سطح زمین

نیمه شمالی ایران تحت نفوذ پرفشار وسیعی است که مرکز آن در جنوب غرب روسیه قرار دارد. زبانه غربی این پرفشار با گذر از شرق دریای مدیترانه، شمال شرق آفریقا (عرض ۲۵ درجه شمالی) را پوشانده است. در غرب اروپا نیز کم‌فشار حاکمیت دارد. همانند دو الگوی قبل، واچرخند عربستان روی دریای عرب در شرق شبه‌جزیره عربستان مستقر است و هسته اصلی کم‌فشار جنوب استوایی آفریقا روی سودان قرار دارد که تا دریای سرخ امتداد یافته است. زبانه‌ای از کم‌فشار سودان با عبور از شبه‌جزیره عربستان، تا نواحی مرکزی عراق و جنوب غرب ایران را تحت تأثیر قرار داده است (شکل ۲-ج). پرفشار مستقر در جنوب غرب روسیه با ریزش هوای سرد و واچرخند عربستان با تزریق هوای گرم و مطریب به کم‌فشار سودان و افزایش گرادیان فشاری در این منطقه، باعث تقویت و حرکت شمال سوی کم‌فشار سودان شده‌اند، اما همانند الگوی اول، به‌دلیل حضور پرفشار در شمال ایران حرکت زبانه این کم‌فشار به عرض‌های شمالی‌تر محدود شده است. همان‌طور که شکل ۲-ج نشان می‌دهد در جنوب غرب ایران باد جنوب - جنوب شرقی و شرقی حاکم است و در امتداد

زبانه کم‌فشار سودان مراکز همگرایی در سودان، غرب عربستان و خلیج فارس ایجاد شده است. این سه مرکز به وسیله واچرخند عربستان با هوای گرم و مرطوب دریایی عرب تغذیه شده‌اند.

### الگوی چهارم سطح زمین

همان‌طور که شکل ۲ نشان می‌دهد، پرفشاری با دو مرکز بسته یکی در دریاچه بالخاش و دیگری در تاجیکستان مستقر است (شکل ۲-ج). زبانه‌ای به شکل نعل اسب، از جنوب غرب این پرفشار با عبور از دریای مازندران، شمال غرب ایران و ترکیه، تا شرق مدیترانه و شمال شرق آفریقا نفوذ کرده است. واچرخند عربستان روی دریای عرب قرار گرفته است. در شرق اروپا نیز کم‌فشار حاکمیت دارد. زبانه کم‌فشار سودان با عبور از دریای سرخ و مرکز شبه‌جزیره عربستان تا جنوب خلیج فارس نفوذ کرده است. این الگو کمایش مشابه الگوی سوم است با این تفاوت که مراکز پرفشار و کم‌فشار روی اروپا در موقعیت شرقی‌تری قرار گرفته‌اند. واچرخندی در انتهای زبانه نعل اسب‌شکل پرفشار مستقر در آسیای مرکزی (روی جنوب شرق مدیترانه) شکل گرفته است. این واچرخند با تزریق هوای نسبتاً سرد و مرطوب دریای مدیترانه و واچرخند عربستان با تزریق هوای گرم و مرطوب دریایی عرب، موجب تقویت کم‌فشار سودان و گسترش زبانه آن تا جنوب خلیج فارس شده‌اند. دو مرکز همگرایی در امتداد زبانه کم‌فشار سودان در غرب شبه‌جزیره عربستان و غرب خلیج فارس شکل گرفته است. یک منطقه واگرایی نیز در جنوب ایران (ساحل شمالی خلیج فارس) ایجاد شده است. این واگرایی به‌همراه واچرخند عربستان، در تزریق هوای گرم و مرطوب (واگرایی جنوب ایران از خلیج فارس و واچرخند عربستان از دریایی عرب) به منطقه همگرایی غرب خلیج فارس نقش دارد.

### الگوی پنجم سطح زمین

در الگوی پنجم (شکل ۲-ج)، کل ایران به استثنای شمال و شمال غرب، تحت نفوذ پرفشار سیبری قرار دارد که این پرفشار از شرق وارد ایران شده است. روی شمال آفریقا نیز پرفشار حاکم است که به‌همراه پرفشار سیبری، نوار پرفشار پیوسته‌ای از غرب تا شرق نقشه (شمال آفریقا، بخش بزرگی از شبه‌جزیره عربستان و ایران) ایجاد کرده‌اند. روی شرق اروپا (تقریباً بین دریای سیاه و دریای بالتیک) کم‌فشار وسیعی تشکیل شده و زبانه‌ای از این کم‌فشار بخش محدودی از شمال و غرب ایران را تحت تأثیر قرار داده و تا غرب خلیج فارس رسیده است. همچنین زبانه کم‌فشار سودان گسترش چندانی نداشته و فقط تا غرب شبه‌جزیره عربستان نفوذ کرده است. واچرخند شکل گرفته روی زبانه پرفشار سیبری در افغانستان، هوای گرم و مرطوب دریایی عرب و دریایی عمان را به کم‌فشار سودان و زبانه کم‌فشار مستقر در شرق اروپا تزریق کرده است. همان‌طور که ملاحظه می‌شود، منطقه همگرایی تشکیل شده در کویت و عراق، ناشی از نفوذ زبانه کم‌فشار سودان نیست (آنچنان‌که در مورد الگوهای دیگر اتفاق افتاده بود)، بلکه حاصل نفوذ زبانه کم‌فشار شرق اروپا به این منطقه است. همچنین در این الگو برخلاف الگوهای اول تا چهارم، واچرخند عربستان نقش فعال و مستقلی در تزریق هوای مرطوب به مراکز همگرایی نداشته است. جریان‌های حاصل از زبانه پرفشار سیبری با گذر از دریایی عرب و دریاهای جنوبی ایران، در تزریق هوای مرطوب آنها به منطقه همگرایی روی کویت و عراق نقش داشته است.

### الگوی ششم سطح زمین

در الگوی ششم سطح زمین، روی شمال آفریقا پرفسار حاکم است. مرکز پرفسار سیبری در آسیای میانه قرار گرفته و زبانه جنوبی آن تا شرق و جنوب ایران (شمال هرمزگان) نفوذ کرده است. برخلاف الگوهای اول تا پنجم، در شرق مدیترانه کم‌پارسی با چند منحنی بسته تشکیل شده است. کم‌پارس سودان و کم‌پارس مدیترانه به هم متصل شده‌اند و محدوده عربستان و شرق مدیترانه تا غرب ایران را تحت نفوذ خود قرار داده‌اند (شکل ۲-خ). در این الگو نیز همانند الگوی پنجم، واچرخند عربستان نقش فعال و مستقلی نداشته است. در واقع در جنوب ایران منطقه واگرایی که روی زبانه پرفسار سیبری تشکیل شده با تزریق هوای گرم و مرطوب دریای عمان و دریای عرب به کم‌پارس سودان، نقش واچرخند عربستان را ایفا کرده است. هوای تزریق شده به کم‌پارس سودان توسط پرفسار شمال آفریقا با توجه به اینکه از عرض‌های بالا نشئت نمی‌گیرد، اختلاف حرارتی چندانی ایجاد نمی‌کند. همان‌طور که ملاحظه می‌شود (شکل ۲-خ)، یک مرکز همگرایی در مرز عربستان و عراق تشکیل شده است که همانند کم‌پارس سودان، توسط هوای گرم و مرطوب دریای عمان و دریای عرب تغذیه می‌شود. با توجه به تصاویر ماهواره‌ای سامانه‌های همروفتی، جنوب غرب ایران در امتداد زبانه کم‌پارس سودان و مرکز همگرایی در مرز عربستان و عراق شکل گرفته و وارد منطقه شده‌اند. کم‌پارس مدیترانه نیز بارش‌هایی را در غرب و شمال غرب ایران به وجود آورده است.

### الگوی هفتم سطح زمین

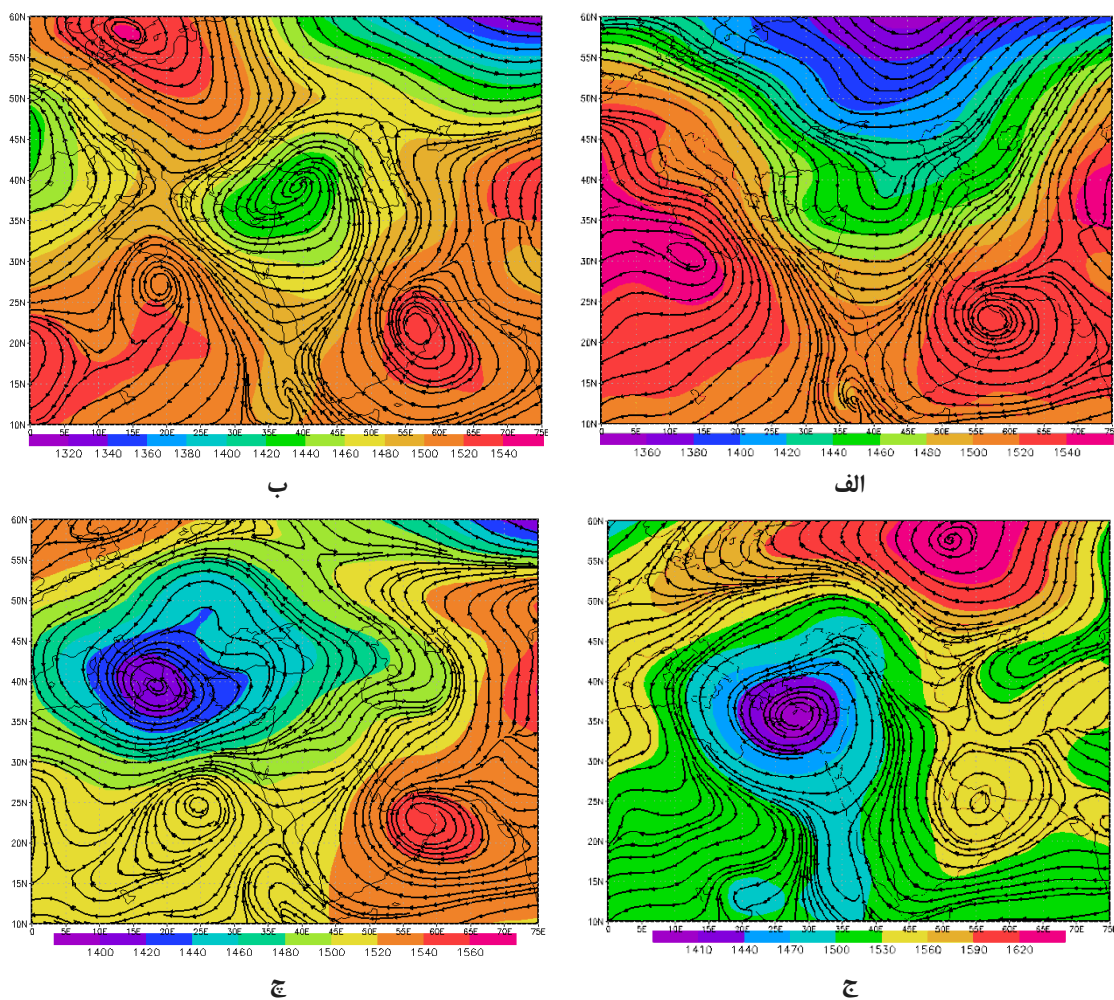
در الگوی هفتم سطح زمین، روی غرب دریای مدیترانه و شمال آفریقا پرفسار حاکم است (شکل ۲-د). زبانه غربی پرفسار سیبری تا دریای سیاه نفوذ کرده و کمایش کل ایران را پوشش می‌دهد. روی دریای مدیترانه (غرب ترکیه) چرخندی قوی تشکیل شده و همچنین زبانه کم‌پارس سودان تا شمال شبکه جزیره عربستان نفوذ کرده است. در این الگو، واچرخند عربستان (مستقر روی دریای عمان)، هوای گرم و مرطوب دریای عمان و دریای عرب را وارد کرده و پرفسار مستقر در شمال آفریقا و غرب دریای مدیترانه نیز، هوای سرد عرض‌های بالا را به کم‌پارس سودان تزریق می‌کنند. به همین دلیل کم‌پارس سودان درنتیجه ایجاد گرادیان فشاری تقویت شده و زبانه آن، در حرکتی شمال شرقی با گذر از شبکه جزیره عربستان تا غرب خلیج فارس نفوذ کرده است، اما گسترش پرفسار سیبری روی ایران مانع نفوذ بیشتر زبانه کم‌پارس سودان به سمت شمال شرق و کم‌پارس مدیترانه به سمت شرق شده است. یک منطقه واگرایی در جنوب ایران (تنگه هرمز) و یک منطقه همگرایی در غرب عربستان تشکیل شده است، اما برخلاف الگوهای دیگر، منطقه همگرایی غرب خلیج فارس شکل نگرفته است.

### الگوهای سطح ۸۵۰ هکتوپاسکال

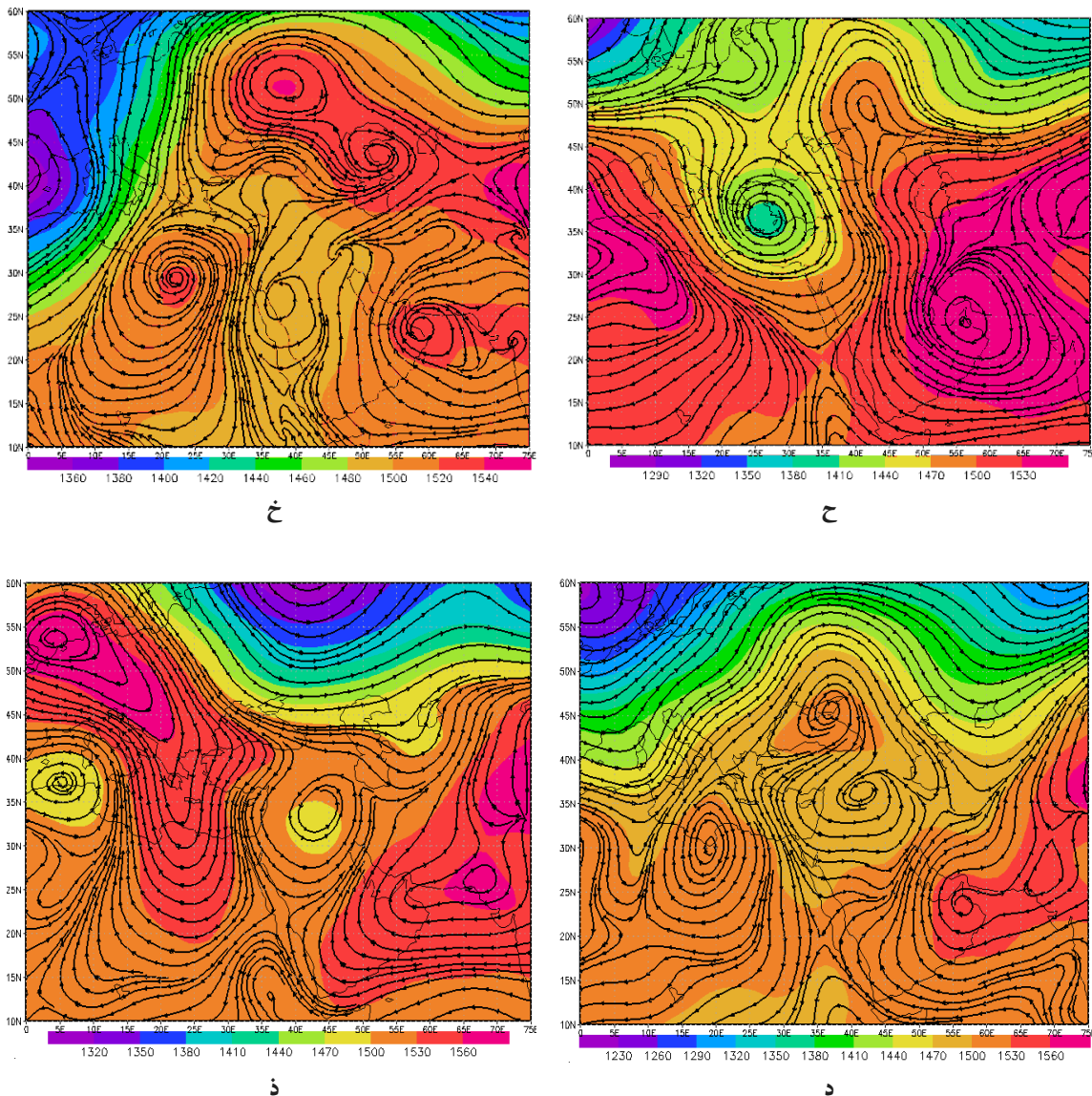
در این سطح دوازده نقشه وجود داشتند که در هیچ الگوی طبقه‌بندی نشدند. با بررسی‌های چشمی معلوم شد که چهار نقشه از آنها را می‌توان در بقیه الگوها ادغام کرد. بنابراین تمام نقشه‌های سطح ۸۵۰ هکتوپاسکال در هشت الگو خلاصه شدند که در ادامه شرح کوتاهی از آنها بیان می‌شود.

## الگوی اول سطح ۸۵۰ هکتوپاسکال

در الگوی اول سطح ۸۵۰ هکتوپاسکال در منطقه مورد مطالعه، جریان‌های جنوب غربی حاکم است. مرکز واچرخند عربستان روی جنوب شرق شبه‌جزیره عربستان (کشور عمان) واقع شده و جنوب شرق شبه‌جزیره عربستان، جنوب و جنوب شرق ایران را تحت نفوذ خود درآورده است. در جنوب اروپا و شمال آفریقا نیز پر ارتفاع حاکم است. یک ناوه عمیق (با بیشینه عمقی حدود ۳۰ درجه عرض جغرافیایی) روی شرق اروپا قرار گرفته که به کم ارتفاع سودان پیوسته است، محور این ناوه در طول جغرافیایی ۳۵ تا ۴۰ درجه شرقی قرار دارد. به این ترتیب واچرخند واقع در اروپا و آفریقا با ریزش هوای سرد به پشت ناوه و نیز، واچرخند عربستان با تزریق هوای گرم و مرطوب به جلوی ناوه، سبب تقویت آن شده‌اند. بنابراین با عمیق‌شدن ناوه و ریزش هوای سرد عرض‌های بالا به عرض‌های پایین‌تر، مرکز همگرایی دریای سرخ تقویت‌شده و روی شبه‌جزیره عربستان توسعه یافته است. منطقه همگرایی تا غرب خلیج فارس گسترش یافته است و در امتداد محوری جنوب غربی - شمال شرقی همگرایی رخ داده است (شکل ۳-الف). این الگو تنها الگو در سطح ۸۵۰ هکتوپاسکال است که در آن ناوه تشکیل شده و جنوب غرب ایران در جلوی آن قرار دارد.



شکل ۳. میانگین ارتفاع ژئوپتانسیل سطح ۸۵۰ هکتوپاسکال و خطوط جریان؛ الف: الگوی اول؛ ب: الگوی دوم؛ ج: الگوی سوم و چ: الگوی چهارم



ادامه شکل ۳. میانگین ارتفاع ژئوپتانسیل سطح ۸۵۰ هکتوپاسکال و خطوط جریان؛ ح: الگوی پنجم؛ خ: الگوی ششم؛ د: الگوی هفتم و ذ: الگوی هشتم

### الگوی دوم سطح ۸۵۰ هکتوپاسکال

در الگوی دوم سطح ۸۵۰ هکتوپاسکال در منطقه مورد مطالعه، جریان‌های جنوب - جنوب غربی حاکم است. همان‌طور که ملاحظه می‌شود بین دریای سیاه و شمال شرق دریای مدیترانه، چرخندی با چند منحنی بسته شکل گرفته که با کم ارتفاع سودان پیوند خورده است. مرکز واچرخند عربستان با یک منحنی بسته در جنوب شرق شبه جزیره عربستان واقع شده است (جنوب شرق شبه جزیره عربستان، جنوب شرق و جنوب ایران تحت نفوذ این واچرخند هستند). یک واچرخند در شمال آفریقا و یک واچرخند در شرق اروپا تشکیل شده است. واچرخند شرق اروپا با ریزش هوای سرد عرض‌های شمالی و واچرخند عربستان با تزریق هوای گرم و مرطوب دریایی عرب، سبب تقویت چرخند بین دریای مدیترانه و دریای سیاه

شده‌اند، این چرخدن تا غرب ایران گسترش یافته و سامانه‌های ناشی از آن جنوب غرب ایران را نیز تحت تأثیر قرار داده‌اند. همان‌طور که در شکل ملاحظه می‌شود (۳-ب)، در غرب چرخدن مدیترانه هوای سرد عرض‌های شمالی توسط دو واچرخدن شرق اروپا و شمال آفریقا به منطقه همگرایی دریای سرخ نفوذ کرده و باعث تقویت مرکز همگرایی و حرکت آن در جهت جنوب غربی - شمال شرقی تا غرب خلیج فارس شده است.

### الگوی سوم سطح ۸۵۰ هکتوپاسکال

همان‌طور که شکل نشان می‌دهد، در الگوی سوم سطح ۸۵۰ هکتوپاسکال در منطقه، جریان‌های جنوبی حاکم است (شکل ۳-ج). مرکز واچرخدن عربستان روی تنگه هرمز قرار گرفته و نیمه جنوبی ایران را تحت نفوذ خود درآورده است. مرکز پارتفاع سیبری روی جنوب غرب روسیه قرار گرفته، زبانه‌ای از این پارتفاع تا جنوب غرب اروپا و شمال غرب آفریقا گسترش یافته است. در شرق مدیترانه یک چرخدن قوی شکل گرفته که زبانه جنوبی آن با کمارتفاع سودان پیوند خورده است. همان‌طور که ملاحظه می‌شود، واچرخدن عربستان با انتقال هوای گرم و مطبوب دریای عرب به شرق دریای مدیترانه و زبانه پارتفاع سیبری با ریزش هوای سرد عرض‌های شمالی به غرب دریای مدیترانه، باعث تقویت چرخدن شرق دریای مدیترانه شده است. تزریق هوای گرم و مطبوب دریای عرب توسط واچرخدن عربستان به دریای سرخ و هوای سرد عرض‌های بالا در حاشیه غربی چرخدن مدیترانه، باعث شکل‌گیری و تقویت منطقه همگرایی دریای سرخ و توسعه آن روی شبکه جزیره عربستان شده است. این منطقه همگرایی تا روی عراق امتداد یافته است. بدلیل تغییر محل واچرخدن عربستان در این الگو نسبت به دو الگوی قبل (مرکز آن در تنگه هرمز قرار گرفته)، منطقه همگرایی دریای سرخ در عرض جغرافیایی بالاتری شکل گرفته است.

### الگوی چهارم سطح ۸۵۰ هکتوپاسکال

در الگوی چهارم سطح ۸۵۰ هکتوپاسکال در منطقه، جریان‌های جنوب غربی حاکم است (شکل ۳-ج). مرکز واچرخدن عربستان به روی جنوب شرق شبکه جزیره عربستان واقع شده و نیمه جنوبی ایران را تحت سیطره خود قرار داده است. پارتفاع نسبتاً ضعیف شمال آفریقا به سمت شرق جابه‌جا شده است. چرخدنی قوی در مرکز مدیترانه مستقر است که جنوب اروپا و بخش محدودی از شمال آفریقا را پوشانده و از سمت شرق تا شمال ایران و دریاچه آرال گسترش دارد. این چرخدن بهدلیل تزریق هوای گرم و مطبوب دریای عرب توسط واچرخدن عربستان (در حاشیه جنوب شرقی) و ریزش هوای سرد عرض‌های بالا توسط واچرخدن مستقر در شرق اروپا (به حاشیه شمال غربی) تقویت شده و گسترش یافته است. تزریق هوای گرم و مطبوب دریای عرب توسط واچرخدن عربستان به روی جنوب دریای سرخ و هوای سرد عرض‌های شمالی در حاشیه غربی چرخدن مدیترانه روی شمال دریای سرخ، باعث شکل‌گیری و تقویت مرکز همگرایی دریای سرخ شده و تا غرب خلیج فارس گسترانیده است. همان‌طور که ملاحظه می‌شود، تفاوت این الگو با الگوهای دوم و سوم در این است که چرخدن شرق مدیترانه به مرکز دریای مدیترانه منتقل شده و گسترش آن مداری است.

### الگوی پنجم سطح ۸۵۰ هکتوپاسکال

در الگوی پنجم سطح ۸۵۰ هکتوپاسکال، جریان‌های منطقه جنوبی است. مرکز واچرخند عربستان در تنگه هرمز واقع شده و تمام بخش‌های ایران تحت نفوذ این واچرخند قرار دارند که با مرکز واچرخند واقع در افغانستان پیوند خورده است. زبانهای از این واچرخند تا شمال دریای خزر و دریای سیاه گسترش یافته است. در جنوب غرب اروپا و شمال آفریقا نیز پرارتفاع حاکمیت دارد. در شرق دریای مدیترانه چرخندی قوی تشکیل شده و با کم ارتفاع سودان پیوند خورده است. همان‌طور که ملاحظه می‌شود (شکل ۳-ح) از یک سو واچرخند عربستان هوای گرم و مرتبط دریای عرب را به شرق چرخند مدیترانه و دریای سرخ انتقال داده است و از سوی دیگر پرارتفاع مستقر در جنوب غرب اروپا و شمال آفریقا هوای سرد عرض‌های شمالی را به غرب چرخند مدیترانه و دریای سرخ منتقل کرده است. درنتیجه این جریان‌ها با افزایش گرادیان فشاری، چرخند شرق مدیترانه تقویت شده و گسترش یافته است. همچنین در دریای سرخ منطقه همگرایی بوجود آمده و تقویت شده و تا شمال شبه‌جزیره عربستان گسترد شده است. این الگو کمایش مشابه الگوی سوم است با این تفاوت که واچرخند عربستان وسعت بیشتر، ولی چرخند مدیترانه وسعت کمتری دارد. همچنین پرارتفاع شمال آفریقا وسیع‌تر و قوی‌تر بوده و باعث ریزش هوای سرد عرض‌های شمالی به غرب چرخند مدیترانه و منطقه همگرایی دریای سرخ می‌شود (در الگوی سوم زبانه پرارتفاع سیبری این نقش را ایفا کرده بود).

### الگوی ششم سطح ۸۵۰ هکتوپاسکال

در الگوی ششم سطح ۸۵۰ هکتوپاسکال در جنوب منطقه، جریان‌های جنوب - جنوب غربی و در شمال منطقه جریان‌های شرق - شمال شرقی حاکم است. واچرخند عربستان گسترش مداری دارد و مرکز آن در دریای عرب قرار گرفته است. واچرخند شمال آفریقا نیز در شمال شرق آفریقا مستقر شده است. یک پرارتفاع وسیع با گسترش مداری و چند هسته مرکزی تقریباً در شمال ایران (مراکز آن در جنوب غرب روسیه، شمال دریای خزر و شمال افغانستان مستقرند) تشکیل شده است. منطقه همگرایی دریای سرخ تا غرب شبه‌جزیره عربستان گسترش یافته است. در این الگو برخلاف الگوهای دوم تا پنجم در شرق مدیترانه چرخندی مشاهده نمی‌شود. همان‌طور که ملاحظه می‌شود (شکل ۳-خ) در غرب ایران یک مرکز همگرایی تشکیل شده است. واچرخند عربستان هوای گرم و مرتبط دریای عرب را بر جنوب دریای سرخ، مراکز همگرایی شمال غرب عربستان و غرب ایران تزریق کرده است. واچرخند روی دریای مازندران نیز هوای سرد عرض‌های شمالی را وارد این مراکز همگرایی (منطقه همگرایی شمال غرب شبه‌جزیره عربستان و منطقه همگرایی غرب ایران) کرده است.

### الگوی هفتم سطح ۸۵۰ هکتوپاسکال

در الگوی هفتم سطح ۸۵۰ هکتوپاسکال، جریان‌های منطقه مورد مطالعه جنوب غربی است. مرکز واچرخند عربستان در جنوب شرق شبه‌جزیره عربستان قرار گرفته و با پرارتفاع واقع در آسیای میانه ادغام شده است. جنوب و جنوب شرق ایران تحت نفوذ این دو پرارتفاع قرار گرفته‌اند. مرکز چرخند مدیترانه روی عراق مستقر است. چرخند دریای مدیترانه تا غرب ایران و منطقه همگرایی دریای سرخ تا غرب خلیج فارس گسترش یافته است. همان‌طور که ملاحظه می‌شود

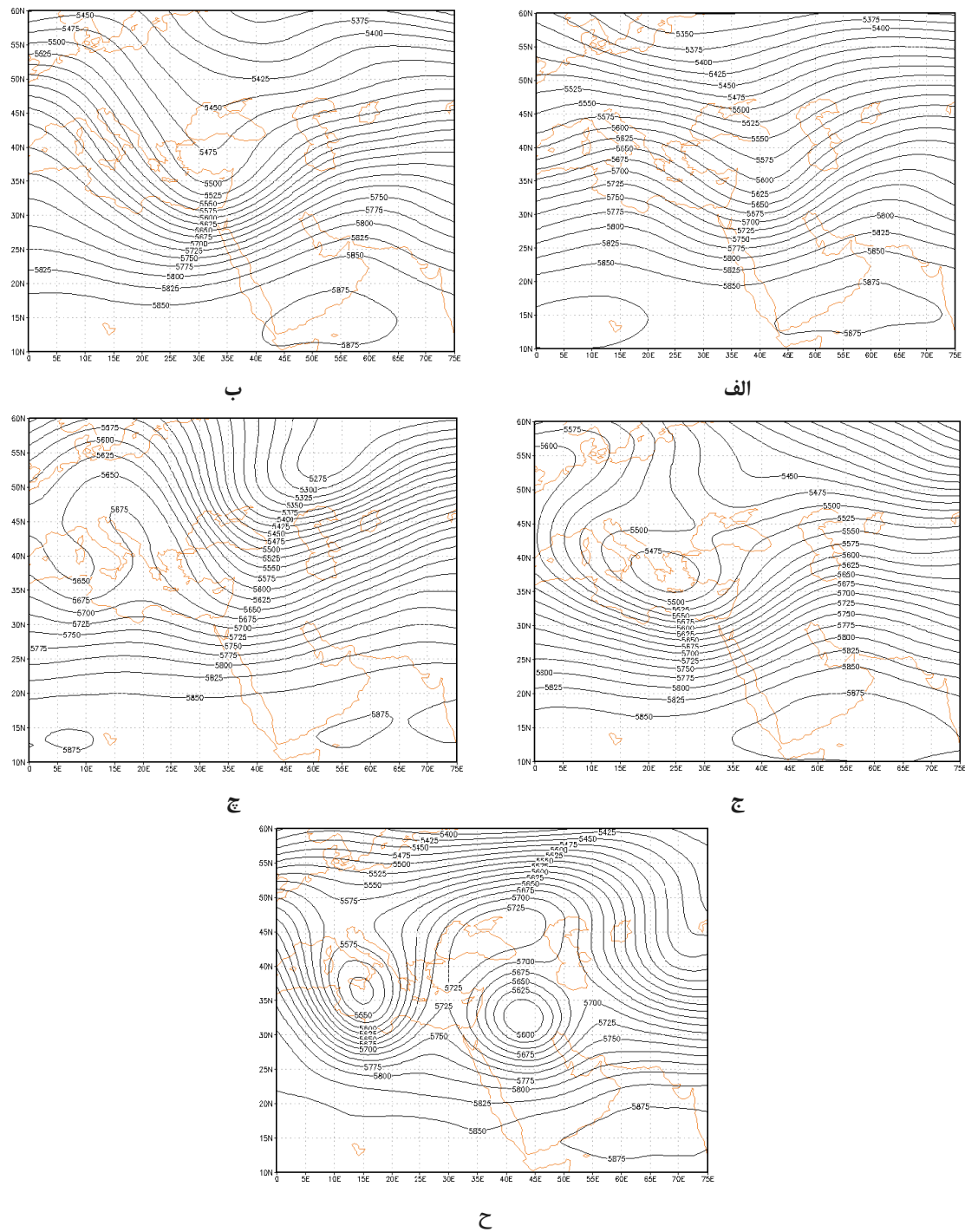
(شکل ۳-د)، واچرخند عربستان به واچرخند مستقر در آسیای میانه متصل شده و هوای گرم و مرطوب دریای عرب را وارد منطقه همگرایی دریای سرخ و شرق چرخند مدیترانه (غرب ایران) کرده و واچرخند روی دریای سیاه نیز هوای سرد و مرطوب عرض‌های شمالی را به غرب چرخند و منطقه همگرایی دریای سرخ تزریق کرده و به این صورت باعث افزایش گرادیان فشاری و ایجاد ناپایداری در منطقه شده‌اند.

### الگوی هشتم سطح ۸۵۰ هکتوپاسکال

در الگوی هشتم سطح ۸۵۰ هکتوپاسکال، جهت جریان‌های منطقه جنوب - جنوب غربی است. دو مرکز پاراتفاینکی شمال پاکستان و دیگری در جنوب غرب پاکستان (واچرخند عربستان) تشکیل شده که جنوب شرق ایران تحت سیطره این پاراتفاینکی قرار گرفته است. در اروپا نیز پاراتفاینکی حاکم بوده و زبانهای از این پاراتفاینکی با عبور از دریای مدیترانه تا شمال شرق آفریقا نفوذ کرده است. چرخندی روی عراق و سوریه تشکیل شده و غرب ایران را تحت نفوذ قرار داده است. کم‌ارتفاع سودان نیز با یک منحنی بسته، در جنوب غرب دریای سرخ قرار گرفته و منطقه همگرایی دریای سرخ تا غرب خلیج فارس گسترش یافته است. همان‌طور که ملاحظه می‌شود (شکل ۳-ذ)، هوای سرد عرض‌های شمالی توسط زبانه واچرخند مستقر در اروپا به غرب چرخند روی عراق و سوریه و همچنین منطقه همگرایی دریای سرخ تزریق شده است. واچرخند روی پاکستان نیز به شرق این چرخند و منطقه همگرایی دریای سرخ هوای گرم و مرطوب دریای عرب را تزریق کرده است. تفاوت الگوی هفتم و هشتم در محل، گستردگی و شدت پاراتفاینکی اروپا است. در الگوی هفتم این پاراتفاینکی به صورت یک سلول واچرخندی ضعیف با گسترشی محدود روی دریای سیاه واقع شده است، در صورتی که در الگوی هشتم این پاراتفاینکی قوی‌تر بوده و با گسترشی بسیار بیشتر، تقریباً کل اروپا و شمال شرق آفریقا را پوشانده است. بنابراین ریزش هوای سرد در الگوی هشتم توسط این پاراتفاینکی بسیار مؤثرتر است (چون از عرض‌های بالاتری منتقل می‌شود).

### الگوهای سطح ۵۰۰ هکتوپاسکال

در زمان رخداد سامانه‌های همرفتی در سطح ۵۰۰ هکتوپاسکال، به‌طور کلی پنج الگو حاکم بوده است (شکل ۴). در الگوی اول و چهارم محور ناوه بین ایران و دریای مدیترانه و محور پشتیه روی مرکز دریای مدیترانه قرار گرفت، تفاوت این دو الگو در عمق ناوه و پشتیه بود (شکل ۴-الف و ۴-ج). در الگوی دوم محور ناوه در شرق دریای مدیترانه و محور پشتیه در غرب دریای مدیترانه شکل گرفت، در این الگو نیز ناوه و پشتیه عمیق بود (شکل ۴-ب). در الگوی سوم محور ناوه (نسبتاً عمیق)، در مرکز مدیترانه قرار گرفت (شکل ۴-ج). درنهایت در آخرین الگو یک بندالی امگایی تشکیل شد. سردچالی بین دریای مدیترانه و ایران قرار گرفت که با ایجاد ناپایداری در حاشیه شرقی خود به رخداد سامانه‌های همرفتی در جنوب غرب ایران کمک کرد (شکل ۴-ح). در همه این الگوهای جنوب شرق ایران در جلوی موج واقع شده بود.



شکل ۴. میانگین ارتفاع زئوپتانسیل سطح ۵۰۰ هکتوپاسکال و خطوط جریان؛ الف: الگوی اول؛ ب: الگوی دوم؛ ج: الگوی سوم؛  
چ: الگوی چهارم؛ ح: الگوی پنجم

### فراوانی سامانه‌های همرفتی میان مقیاس در هر یک از الگوهای فشار

۲۵ درصد سامانه‌های همرفتی زمانی شکل گرفتند که در منطقه، الگوی دوم سطح زمین و الگوی اول سطح ۸۵۰ هکتوپاسکال حاکم بوده است. در این الگو در سطح زمین و سطح ۸۵۰ هکتوپاسکال، ریزش هوای سرد توسط پرسنل

آزور و شمال آفریقا و ترریق هوای گرم و مرتبط تو سط و اچرخند عربستان به منطقه، باعث تقویت کم‌فشار سودان و منطقه همگرایی دریای سرخ و حرکت شمال سوی آن شده است؛ به طوری که در سطح زمین زبانه کم‌فشار سودان تا روی دریای خزر پیش رفته و در سطح ۸۵۰ یک ناوه بین ایران و دریای مدیترانه تشکیل شد. منطقه همگرایی دریای سرخ تا غرب خلیج فارس امتداد یافته، مراکز همگرایی شکل گرفته در امتداد آن، مسبب تشکیل سامانه‌های همرفتی بودند که جنوب غرب ایران را تحت تأثیر قرار دادند. اما شرایط سطح ۵۰۰ هکتوپاسکال برای تشکیل این سامانه‌ها متفاوت بوده (الگوی اول تا الگوی چهارم سطح ۵۰۰ هکتوپاسکال)، بنابراین مسیر حرکت سامانه‌ها را تحت تأثیر قرار داده است (در الگوی سوم قرارگیری محور پشتہ در مرکز ایران از ادامه حرکت سامانه‌ها به سمت شمال شرق جلوگیری کرده است). بخشی از سامانه‌های این الگو در خارج از منطقه (کویت، جنوب و جنوب شرق عراق) شکل گرفتند، در منطقه‌ای گسترده در جنوب غرب ایران وارد مرز شدند، اما بخشی دیگر از سامانه‌ها در داخل منطقه تشکیل شدند و اغلب گسترشی محدود به منطقه داشته‌اند. به‌طور کلی در این الگوها شرایط برای گسترش زیاد و عمر طولانی سامانه‌ها فراهم بوده است.

۱۲/۳ درصد سامانه‌های همرفتی زمانی شکل گرفتند که در منطقه الگوی اول سطح زمین و دوم سطح ۸۵۰ هکتوپاسکال حاکم بوده است. در سطح زمین و سطح ۸۵۰ هکتوپاسکال، و اچرخند عربستان هوای گرم و مرتبط دریای عرب را وارد منطقه کرده و هوای سرد عرض‌های بالا در سطح زمین تو سط پرفشار گسترده شمالی (از مرکز و شرق اروپا تا آسیای میانه و غرب چین در شمال عرض ۳۵ درجه) و در سطح ۸۵۰ تو سط دو و اچرخند یکی در شمال دریای مدیترانه و دیگری در جنوب آن ترریق و سبب افزایش گرادیان فشاری در منطقه شده است. کم‌فشار سودان و منطقه همگرایی دریای سرخ در این شرایط تقویت شده و تا غرب خلیج فارس امتداد یافت، همچنین بین دریای مدیترانه و دریای سیاه چرخدنی قوی و وسیع تشکیل شده که حاشیه شرقی آن تا غرب ایران را تحت تأثیر قرار داده است. شرایط سطح ۵۰۰ برای تشکیل این سامانه‌ها (الگوی اول تا سوم سطح ۵۰۰ هکتوپاسکال) و گسترش و مسیر حرکت سامانه‌ها در داخل ایران، متفاوت بوده است (گسترش سامانه‌هایی که تحت شرایط الگوی سوم سطح ۵۰۰ هکتوپاسکال شکل گرفتند، بدليل قرارگیری محور پشتہ در مرکز ایران اغلب محدود به منطقه بود، اما برخی از سامانه‌های تشکیل شده در الگوی اول و دوم توانستند تا شمال شرق ایران گسترش یابند).

۱۵/۶ درصد سامانه‌های همرفتی زمانی شکل گرفتند که در منطقه، الگوی چهارم سطح زمین، الگوی اول سطح ۸۵۰ هکتوپاسکال و الگوی اول یا دوم سطح ۵۰۰ هکتوپاسکال حاکم بوده است. در این الگوی ریزش هوای سرد به منطقه در سطح زمین تو سط و اچرخند شرق مدیترانه (به روی زبانه نعل اسبی شکل پرفشار سیبری) و در سطح ۸۵۰ هکتوپاسکال تو سط پرارتفاع آزور و شمال آفریقا صورت گرفته، ترریق هوای گرم و مرتبط دریای عرب هم در سطح زمین و هم در سطح ۸۵۰ تو سط و اچرخند عربستان انجام شده است. در این شرایط مرکز همگرایی دریای سرخ تا غرب خلیج فارس گسترش یافته است.

۱۴/۸ درصد سامانه‌های همرفتی زمانی شکل گرفتند که در منطقه، الگوی سوم سطح زمین، ششم سطح ۸۵۰ هکتوپاسکال و الگوی اول سطح ۵۰۰ هکتوپاسکال حاکم بوده است. در این الگو در سطح زمین و سطح ۸۵۰

هکتوپاسکال، ریزش هوای سرد به منطقه به‌واسطهٔ پرفشار جنوب غرب روسیه و تزریق هوای گرم و مرطوب توسط واچرخند عربستان صورت گرفته است. در سطح زمین زبانهٔ کم‌پوش سودان تا غرب خلیج فارس و در سطح ۸۵° منطقه همگرایی دریای سرخ تا شبکهٔ جزیرهٔ عربستان گسترش یافته است. بیشتر سامانه‌های این الگو در غرب خلیج فارس شکل گرفتند و گسترشی محدود به منطقه داشتند.

۴/۵ درصد سامانه‌های همرفتی زمانی شکل گرفتند که در منطقه، الگوی اول سطح زمین و سوم سطح ۸۵° هکتوپاسکال حاکم بوده است. در سطح زمین و سطح ۸۵° هکتوپاسکال واچرخند عربستان هوای گرم و مرطوب و واچرخند پرفشار گستردۀ شمالی هوای سرد عرض‌های بالا به منطقه تزریق کرده‌اند. الگوی دوم و سوم سطح ۵۰° هکتوپاسکال نیز در زمان تشکیل این سامانه‌ها حاکم بوده است. در این شرایط کم‌پوش سودان در سطح زمین تا غرب خلیج فارس و مرکز همگرایی دریای سرخ در سطح ۸۵° هکتوپاسکال تا عراق امتداد یافته‌اند. بیشتر این سامانه‌ها در جنوب شرق عراق و کویت شکل گرفتند، ولی همه آنها گسترشی کمابیش محدود به منطقه داشتند.

۴/۶ درصد سامانه‌های همرفتی زمانی شکل گرفتند که در منطقه، الگوی پنجم با ششم سطح زمین و الگوی اول سطح ۸۵° حاکم بوده است. در این الگوها ریزش هوای سرد به منطقه در سطح زمین به‌واسطهٔ واچرخند شمال آفریقا و در سطح ۸۵° هکتوپاسکال توسط پارتفاع آزور و شمال آفریقا صورت گرفته، تزریق هوای گرم و مرطوب دریای عرب هم، در سطح زمین به‌دلیل واچرخند روی افغانستان و در سطح ۸۵° توسط واچرخند عربستان انجام شده است. در سطح ۸۵° هکتوپاسکال منطقه همگرایی دریای سرخ تا غرب خلیج فارس امتداد یافته است. سامانه‌های همرفتی در داخل یا خارج از منطقه (جنوب شرق و شرق عراق) شکل گرفتند و بیشتر آنها گسترشی محدود به منطقه داشتند.

۴/۱ درصد سامانه‌های همرفتی زمانی شکل گرفتند که در منطقه الگوی اول سطح زمین، الگوی هشتم سطح ۸۵° هکتوپاسکال و الگوی چهارم سطح ۵۰° حاکم بوده است. در سطح زمین و سطح ۸۵° هکتوپاسکال واچرخند عربستان هوای گرم و مرطوب دریای عرب را وارد منطقه کرده است (البته در سطح ۸۵° هکتوپاسکال، پارتفاع مستقر در آسیای میانه نیز در ورود هوای مرطوب سهیم بوده است). هوای سرد عرض‌های بالا در سطح زمین توسط پرفشار گستردۀ شمالی (از مرکز و شرق اروپا تا آسیای میانه و غرب چین در شمال عرض ۳۵ درجه) و در سطح ۸۵° توسط زبانهٔ پارتفاع گستردۀ مستقر در اروپا به منطقه منتقل شده است. در این شرایط کم‌پوش سودان و منطقه همگرایی دریای سرخ تا غرب خلیج فارس گسترش یافت. سامانه‌های این الگو در داخل یا در کویت و جنوب شرق عراق شکل گرفتند و بیشتر آنها گسترشی محدود به منطقه داشتند.

۳/۷ درصد سامانه‌ها زمانی شکل گرفتند که الگوی اول سطح زمین و الگوی اول سطح ۸۵° هکتوپاسکال حاکم بوده است. در سطح زمین و سطح ۸۵° هکتوپاسکال، واچرخند عربستان هوای گرم و مرطوب دریای عرب را به منطقه تزریق کرده، هوای سرد عرض‌های بالا در سطح زمین توسط پرفشار گستردۀ شمالی (از مرکز و شرق اروپا تا آسیای میانه و غرب چین در شمال عرض ۳۵ درجه) و در سطح ۸۵° هکتوپاسکال به‌واسطهٔ واچرخند آزور و شمال آفریقا به منطقه ریزش کرده و موجب افزایش گرادیان فشاری شده است. کم‌پوش سودان و منطقه همگرایی دریای سرخ در این شرایط تقویت شده و تا غرب خلیج فارس امتداد یافته (و در امتداد آن مرکز همگرایی در روی کویت تشکیل شده است)، ولی

وجود شرایط پرشماری در نیمه شمالی ایران از گسترش بیشتر زبانه کم‌فشار سودان به سمت شمال جلوگیری کرده است. در سطح ۸۵۰ هکتوپاسکال نیز یک ناوه بین ایران و دریای مدیترانه تشکیل شده است. شرایط سطح ۵۰۰ هکتوپاسکال برای تشکیل این سامانه‌ها متفاوت بوده (الگوی اول، دوم و چهارم سطح ۵۰۰ هکتوپاسکال)، اما در همه این الگوها جنوب غرب ایران در جلوی ناوه قرار گرفته است. در این الگوها بیشتر سامانه‌ها در مرکز همگرایی کویت، چند سامانه در داخل منطقه و یک سامانه در جنوب شرق عراق شکل گرفتند.

## بحث و نتیجه‌گیری

برای تعیین شرایط همدیدی رخداد سامانه‌های همرفتی، نقشه‌های روزانه فشار سطح دریا، ارتفاع ژئوپتانسیل سطح ۸۵۰ و ۵۰۰ هکتوپاسکال طبقه‌بندی شدند. به این منظور از دو روش طبقه‌بندی بردار ویژه و روش همبستگی استفاده شد. برای قضاؤت در مورد عملکرد این دو روش، ابتدا ضریب همبستگی بین فشار یا ارتفاع ژئوپتانسیل روزهای طبقه‌بندی شده در الگوهای حاصل از روش بردار ویژه محاسبه شد و سپس روزهایی که ضریب همبستگی آنها کمتر از آستانه انتخاب شده در روش همبستگی بود ( $70\%$ ) و همچنین روزهایی که در هر دو روش به‌شکل متفاوتی طبقه‌بندی شدند، به صورت چشمی مورد بررسی قرار گرفتند. مقایسه نتایج نشان داد که روش همبستگی نتایج بهتری ارائه می‌دهد که خروجی‌های این روش برای تحلیل نهایی به کار گرفته شد.

در روزهای رخداد سامانه‌های همرفتی در جنوب غرب ایران، فشار سطح دریا در هفت الگو، ارتفاع ژئوپتانسیل سطح ۸۵۰ هکتوپاسکال در هشت الگو و ارتفاع ژئوپتانسیل سطح ۵۰۰ هکتوپاسکال در پنج الگو طبقه‌بندی شدند. در این الگوها در سطح زمین و سطح ۸۵۰ هکتوپاسکال، تزریق هوای گرم و مرطوب دریای عرب به منطقه توسط و اچرخند عربستان صورت گرفته است؛ البته در مواردی نیز زبانه پرشمار سیبری با نفوذ به عرض‌های جغرافیایی پایین آسیای میانه، به همراه و اچرخند عربستان یا به صورت مستقل، این وظیفه را به عهده داشته است (کریمی، ۱۳۸۶). هوای سرد عرض‌های بالا در سطح زمین اغلب به‌واسطه پرشمار سیبری (به‌طور مستقل، یا به صورت ادغام شده با پرشمار آزور، یا پرشمارهای محلی) و در مواردی نیز توسط پرشمار آزور و شمال آفریقا به منطقه ریزش کرده و به این ترتیب باعث افزایش گرادیان فشاری منطقه و حرکت شمال سوی کم‌فشار سودان شده است. اما در سطح ۸۵۰ هکتوپاسکال پرارتفاع آزور و شمال آفریقا، نقش مهم‌تری در ریزش هوای سرد عرض‌های بالا به منطقه داشته‌اند. گاهی نیز پرارتفاع‌های محلی مستقر در شمال ایران، شمال و جنوب دریای مدیترانه یا دریای سیاه، مسبب ریزش هوای سرد در این سطح بوده‌اند. در این الگوها منطقه همگرایی دریای سرخ اغلب تا غرب خلیج فارس، جنوب غرب ایران و در یک الگو زبانه کم‌فشار سودان در سطح زمین تا شمال ایران گسترش یافته است. در سطح ۸۵۰ هکتوپاسکال اغلب ناوه یا چرخندی بین دریای مدیترانه و ایران تشکیل شده است. در سطح ۵۰۰ هکتوپاسکال نیز در تمامی الگوها، جنوب غرب ایران در جلوی ناوه‌ای قرار داشته که محور آن یا در شرق مدیترانه، یا بین دریای مدیترانه و ایران مستقر بوده است. این ناوه تا دریای سرخ نفوذ کرده و عامل مهمی در تقویت کم‌فشار سودان بوده است. به‌طور کلی در این پژوهش با طبقه‌بندی کمی نقشه‌های فشار سطوح مختلف، علاوه بر شناسایی الگوهای معرفی شده در مطالعات قبلی، مانند الگوی اول تا چهارم در مطالعه لشکری

(۱۳۸۱) که به ترتیب مطابق با الگوهای هفتم، اول، سوم و دوم این مطالعه بوده و الگوی میانگین هجده طوفان بررسی شده در مطالعه مفیدی (۲۰۰۶) که همان الگوی دوم سطح زمین در این مطالعه بوده است، تعدادی الگوی جدید با فراوانی کمتر نیز، معرفی شدند که کار محققان نامیرده را در شناسایی الگوهای سودانی منجر به بارش‌های رگباری و شدید در جنوب غرب ایران، تا اندازه‌ای تکمیل کرده است. تفاوت الگوهای شناسایی شده عمدتاً در موقعیت، نقش و گسترش مراکز فشار منطقه بوده است. به‌طور کلی تقویت و حرکت زبانه کم‌فشار سودان به سمت جنوب غرب ایران، سبب شکل‌گیری بخش قابل توجهی از سامانه‌های همرفتی در امتداد منطقه همگرایی دریای سرخ بوده است. بخش کوچکتری از سامانه‌ها نیز تحت تأثیر چرخند یا ناوه بین ایران و دریای مدیترانه در سطح ۸۵۰ هکتوپاسکال، تشکیل شدند. همان‌طور که بامیک، روی و کوندو (۲۰۰۸) بیان کردند، در تمام این الگوها شرایط دینامیکی نقش بسیار مهمی در رخداد سامانه‌های همرفتی داشتند.

## منابع

- حجازی‌زاده، ز؛ جعفرپور، ز؛ پروین، ن. (۱۳۸۶). بررسی و شناسایی الگوهای سینوپتیکی تراز ۵۰۰ هکتوپاسکال مولد سیلاب‌های مخرب و فراغیر سطح حوضه آبریز دریاچه ارومیه، علوم جغرافیایی، دوره ۷، شماره ۱۰، ص ۱۵۵-۱۲۵.
- عزیزی، ق. و صمدی، ز. (۱۳۸۶). تحلیل الگوی سینوپتیکی سیل ۲۸ مهرماه ۱۳۸۲ استان گیلان و مازندران، پژوهش‌های جغرافیایی، دوره ۳۹، شماره ۶۰، ص ۷۳-۶۱.
- کریمی، م. (۱۳۸۶). منابع تأمین رطوبت بارش‌های ایران. رساله دکترا به راهنمایی دکتر منوچهر فرج‌زاده، آب‌وهواشناسی، دانشگاه تربیت مدرس.
- کریمی، م. و فرج‌زاده، م. (۱۳۹۰). شار رطوبت و الگوهای فضایی - زمانی منابع تأمین رطوبت بارش‌های ایران. تحقیقات کاربردی علوم جغرافیایی. دوره ۱۹، شماره ۲۲، ص ۱۲۷-۱۰۹.
- لشکری، ح. (۱۳۸۱). مکانیسم تکوین، تقویت و توسعه موزک کم‌فشار سودان و نقش آن بر روی بارش‌های جنوب و جنوب غرب ایران، پژوهش‌های جغرافیایی، دوره ۳۵، شماره ۴۶، ص ۱۸-۱.
- مفیدی، ع. و زرین، آ. (۱۳۸۴). بررسی سینوپتیکی تأثیر سامانه‌های کم‌فشار سودانی در وقوع بارش‌های سیل‌زا در ایران. تحقیقات جغرافیایی، دوره ۲۰، شماره ۷۷، ص ۱۳۶-۱۱۳.
- موسوی بایگی، م. و اشرف، ب. (۱۳۸۹). بررسی و مطالعه نمایه قائم هوای منجر به بارندگی‌های مخرب تابستانه، آب و خاک، دوره ۲۴، شماره ۵، ص ۱۰۴۸-۱۰۳۶.
- یارنال، ب. (۱۳۸۵). اقلیم‌شناسی همدید و کاربرد آن در مطالعات محیطی، ترجمه ابوالفضل مسعودیان، انتشارات دانشگاه اصفهان، اصفهان.
- Azizi, G., Samadi, Z., 2007, *Synoptic Analysis of 20th October 2007 Flood in Gilan and Mazandaran*, Geographical Researches, Vol. 39, No. 60, PP. 61-73.
- Bhowmik, S.K.R., Roy, S.S., Kundu, P.K., 2008, *Analysis of Large-scale Conditions Associated with Convection over the Indian Monsoon Region*, International Journal of Climatology, Vol. 28, No. 6, PP. 797-821. DOI: 10.1002/joc.1567.

- Cotton, R.W., Anthes, R.A., 1989, **Storms and Cloud Dynamics**. International Geophysical Services 44, PP. 883.
- Doswell III, C.A., Brooks, H.E., Maddox, R.A., 1996, **Flash Flood Forecasting: Ingredients Based Methodology**, Weather and Forecasting, Vol. 11, No. 4, PP. 560–581.
- Hejazizadeh, Z., Gafarpour, Z., Parvin, N., 2007, **Synoptic Analysis of Destructive Flood in Uromieh Basin**, Geography Science, Vol. 7, No. 10, PP. 125-155.
- Karimi, M., 2007, **Moisture Resource Supplying Iran's Precipitations**, Ph.D. Thesis, Dr. Manoochehr Frajzadeh, Climatology, University of Tarbiat Modares.
- Karimi, M., Farajzadeh, M., 2011, **Moisture Flux and Spatial-temporal Patterns of Supply Moisture Resource Iran's Precipitations**, Journal of Applied Research in Geographical Sciences, Vol. 19, No. 22, PP. 109-127.
- Lashkari, H., 2002, **Development and Enhancing Mechanism of Soudan Low and Its Role on Precipitation in Southwest of Iran**. Geographical Researches, Vol. 35, No. 46, PP. 1-18.
- Llasat, M. C., Ramis, C., Lanza, L., 1999, **Storm Tracking and Monitoring Using Objective Synoptic Diagnosis and Cluster Identification from Infrared Meteosat Imagery**, Meteorology and Atmospheric Physics, Vol. 71, No. 3-4, PP. 139-155.
- Llasat, M.C., Rigo, T., Barriendos, M., 2003, **The 'Montserrat-2000' Flash-flood Event: a Comparison with the Floods in the Northeastern Iberian Peninsula since the 14th Century**, International Journal of Climatology, Vol. 23, No. 4, PP. 453–469.
- Mofidi, A., Zarin, A., 2006, **Synoptic Assessment of Soudan Low Impact on Flooding Rainfall in Iran**, Geographical Research, Vol. 20, No. 77, PP. 113-136.
- Morel, C., Senesi, S., 2002, **A Climatology of Mesoscale Convective Systems over Europe Using Satellite Infrared Imagery**, Quarterly Journal of the Royal Meteorological Society, Vol. 128, No. 584, PP. 1953-1971.
- Mousavi, M., Ashraf, B., 2010, **Assessment of Vertical Index Responsible for Summertime Destructive Rainfall**. Soil and Water, Vol. 24, No. 5, PP. 1036-1048.
- Rigo, T., Llasat, M.C., 2007, **Analysis of Mesoscale Convective Systems in Catalonia Using Meteorological Radar for the Period 1996-2000**, Atmospheric Research, Vol. 83, No. 2-4, PP. 458-472.
- Sanchez, J.L., Fernandez, M.V., Fernandez, J.T. Tuduri, E., Ramis, C., 2003, **Analysis of Mesoscale Convective Systems with Hail Precipitation**, Atmospheric Research, Vol. 67–68, PP. 573–588.
- Takemi, T., 2010, **Dependence of the Precipitation Intensity in Mesoscale Convective Systems to Temperature Lapse Rate**, Atmospheric Research, Vol. 96, No. 2-3, PP. 273–285.
- Tank, M.G., Zwiers, F.W., Zhang, X., 2009, **Guidelines on Analysis of extremes in a changing climate in support of informed decisions for adaptation**, World Meteorological Organization, Climate Data and Monitoring WCDMP-No. 72.
- Weisman, M.L., Rotunno, R., 2004, **A Theory for Strong Long-lived Squall Lines Revisited**, Journal of the Atmospheric Sciences, Vol. 61, No. 4, PP. 361–382.
- Yarnal, B., 2006, **Synoptic Climatology in Environmental Analysis**, Masoudian, by: A., Esfahan University, Esfahan.